

粉体への衝突現象で見られる エジェクタ地形の分類

A. Suzuki¹, T. Kadono², M. Arakawa³, A. M. Nakamura¹,
K. Wada⁴, S. Yamamoto⁵

¹CPS/Grad. School Sci., Kobe Univ., ²Inst. Laser Eng., Osaka Univ.,

³Grad. School Env. Studies, Nagoya Univ., ⁴PERC, Chitech,

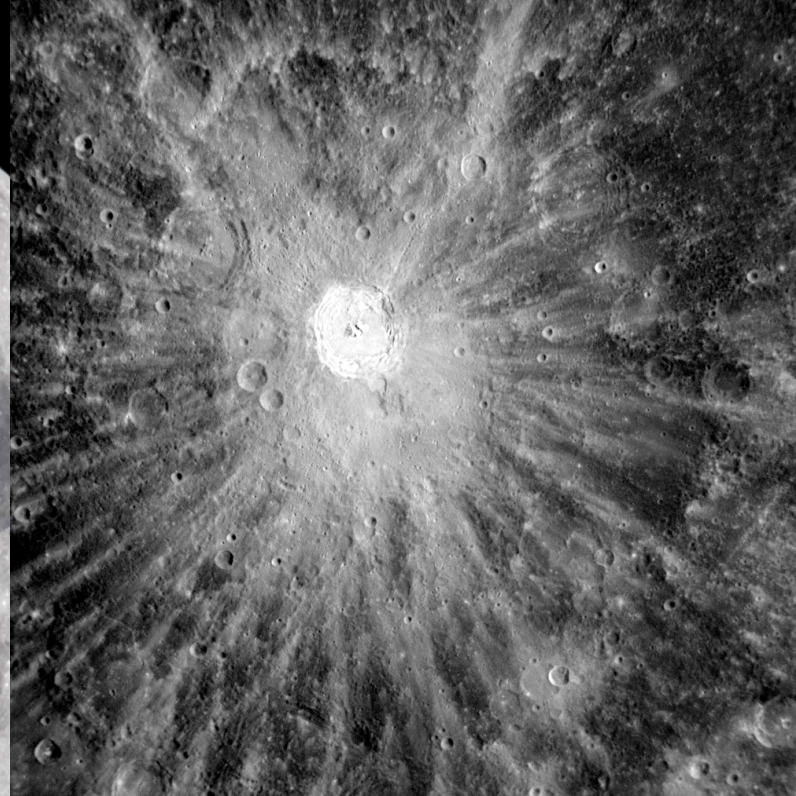
⁵National Inst. Env. Studies



Rayed craters on planets



Moon



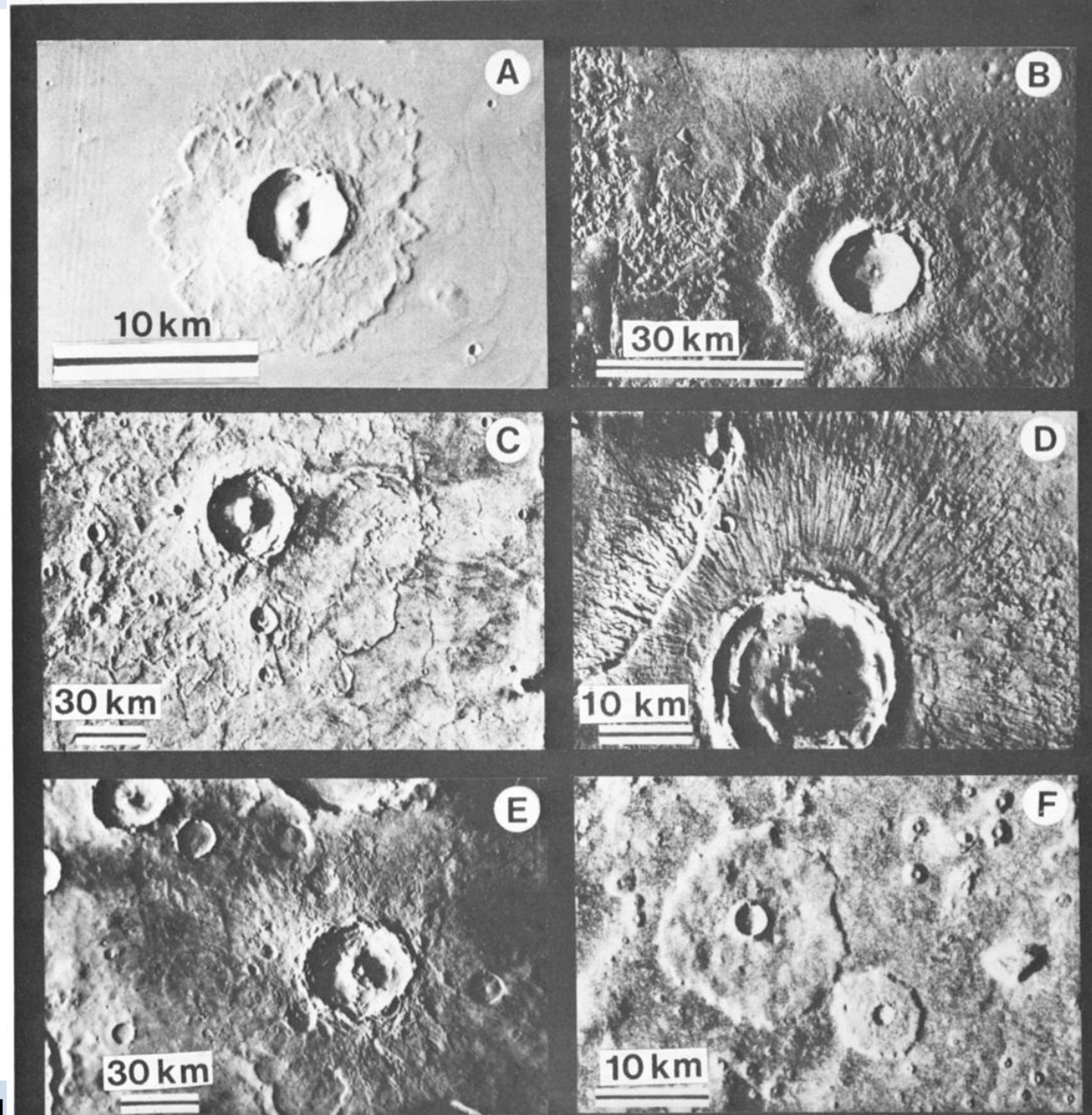
Kuiper, $D=62\text{ km}$



Mercury

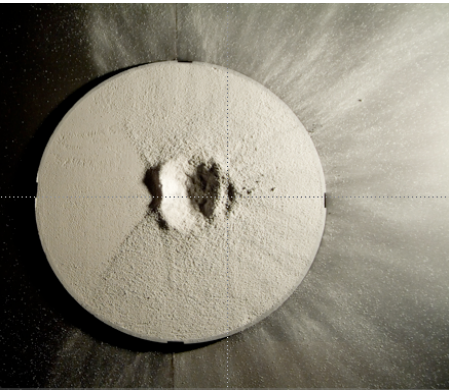
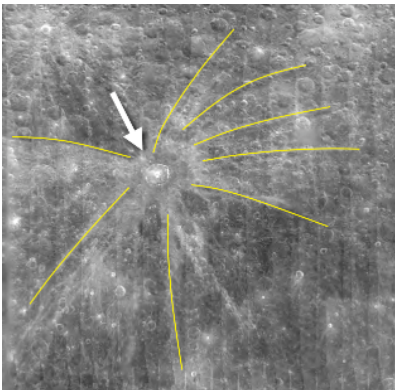
- The nature, origin, age, and formation processes have long been the subject of major controversies [e.g. Hawke et al., 2004]

火星エジェクタのバリエーション

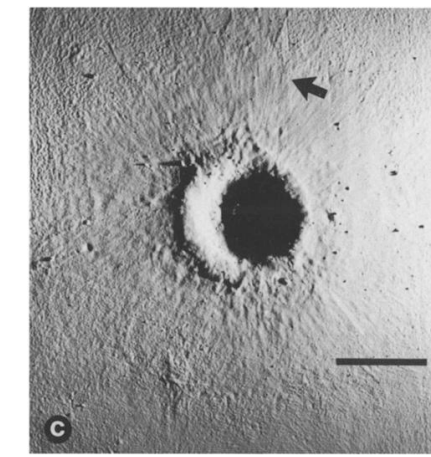
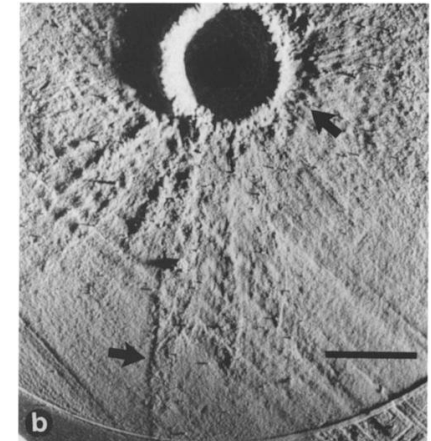
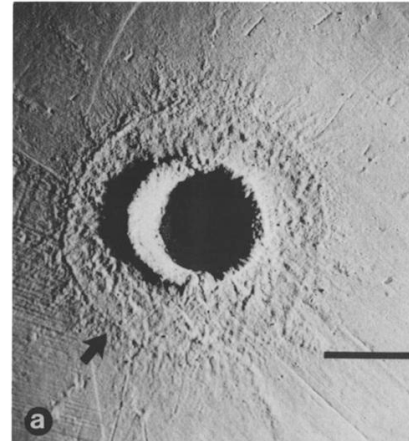


ejecta in the laboratory

- Uprange ray pattern -- interpreted as an evolving excavation flow field [Schultz et al., 2009]



[Schultz et al., 2009]



[Schultz, 1992]



目的

- ガラスビーズターゲットに衝突をさせ、実験条件（大気圧、衝突速度、粒径など）を変化させたときにどのようなエジェクタ地形ができるかを調べ、分類する
- 相図を描き、エジェクタ地形の形成条件を制約する

実験条件とパラメータ

- 標的：ガラスビーズ 100 μm (50, 420 μm)
- ターゲット準備状況：well-packing / loose packing
- チャンバー内大気圧： $10^2 \text{ Pa} \sim 10^5 \text{ Pa}$ (大気圧)
- 衝突速度：数～百数十 m/s

projectile					ambient pressure	facilities
diameter	mass	material	shape	impact velocity		
25.0 mm	63.6 g	Fe	sphere	a few m/s	atmos.	free fall
24.6 mm	19.2 g	glass	sphere	a few m/s	atmos.	free fall
29.7 mm	39.1 g	Al	sphere	a few m/s	atmos.	free fall
24.5 mm	67.4 g	Fe	sphere	a few m/s	$10^2\text{-}10^5 \text{ Pa}$	free fall
9.53 mm	0.5 g	Nylon	sphere	20 ~ 40 m/s	atmos.	gun in Nagoya
9.53 mm	0.5 g	Nylon	cylinder	20 ~ 40 m/s	atmos.	gun in Nagoya
10 mm	6.0 g	Stainless	cylinder	~ 50 m/s	~ 10^3 Pa	gun in Kobe
10 mm	0.9 g	Polycarbonate	cylinder	50 ~ 120 m/s	$10^3\text{-}10^5 \text{ Pa}$	gun in Kobe
10 mm	2.1 g	Al	cylinder	50 ~ 120 m/s	$10^3\text{-}10^5 \text{ Pa}$	gun in Kobe

Results :

target mean diameter	100 μm
target initial condition	well-packing
ambient pressure	10^3 Pa
impact velocity	52.8 m/s

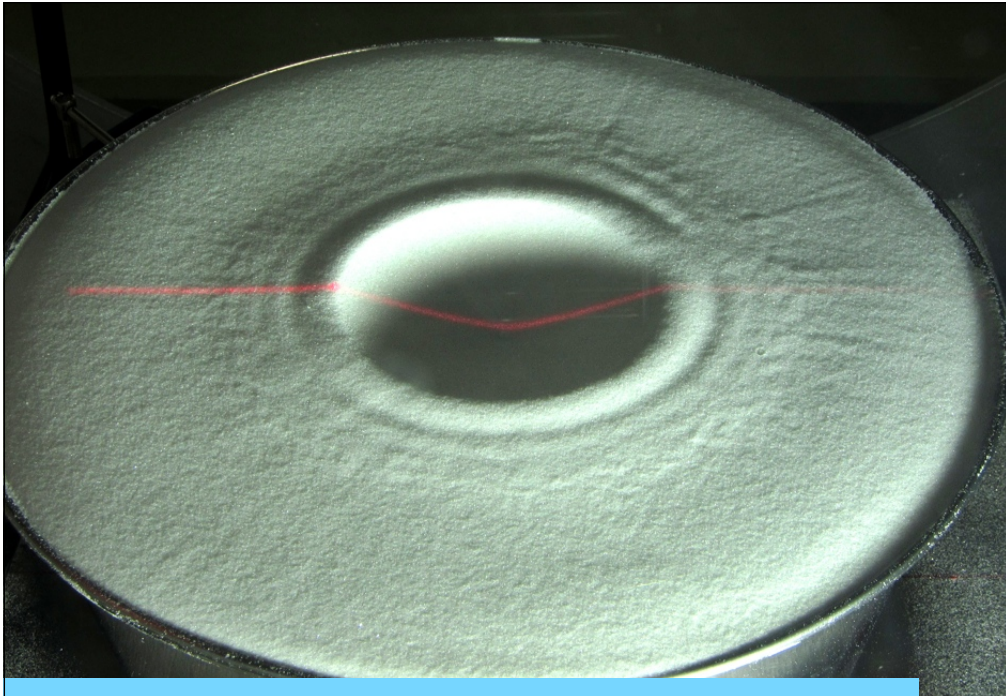
recorded in 5000 fps



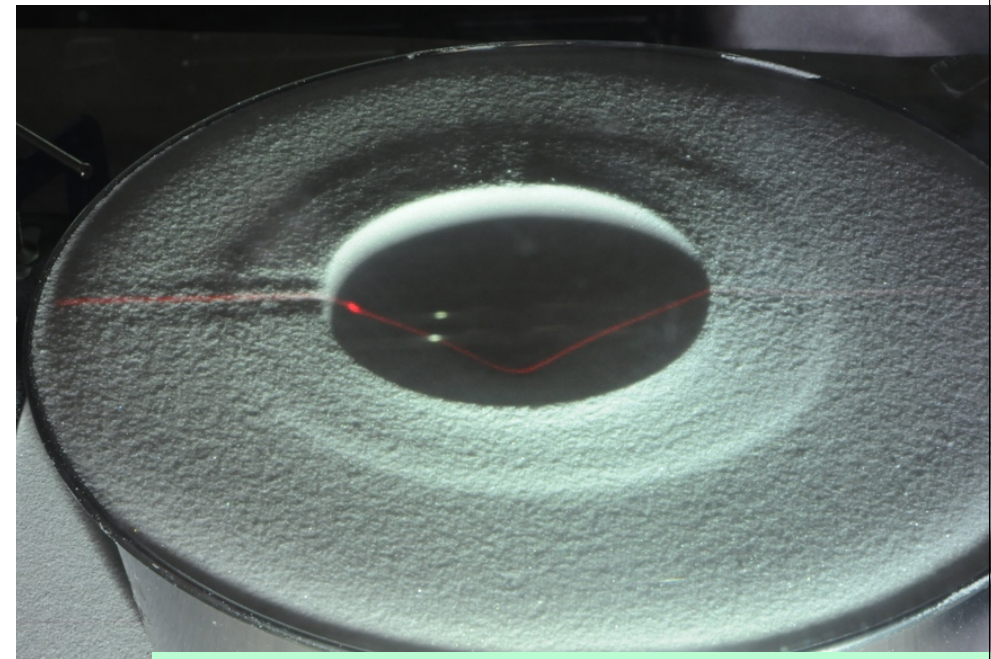
地形の分類

Fine radial w/o concentric

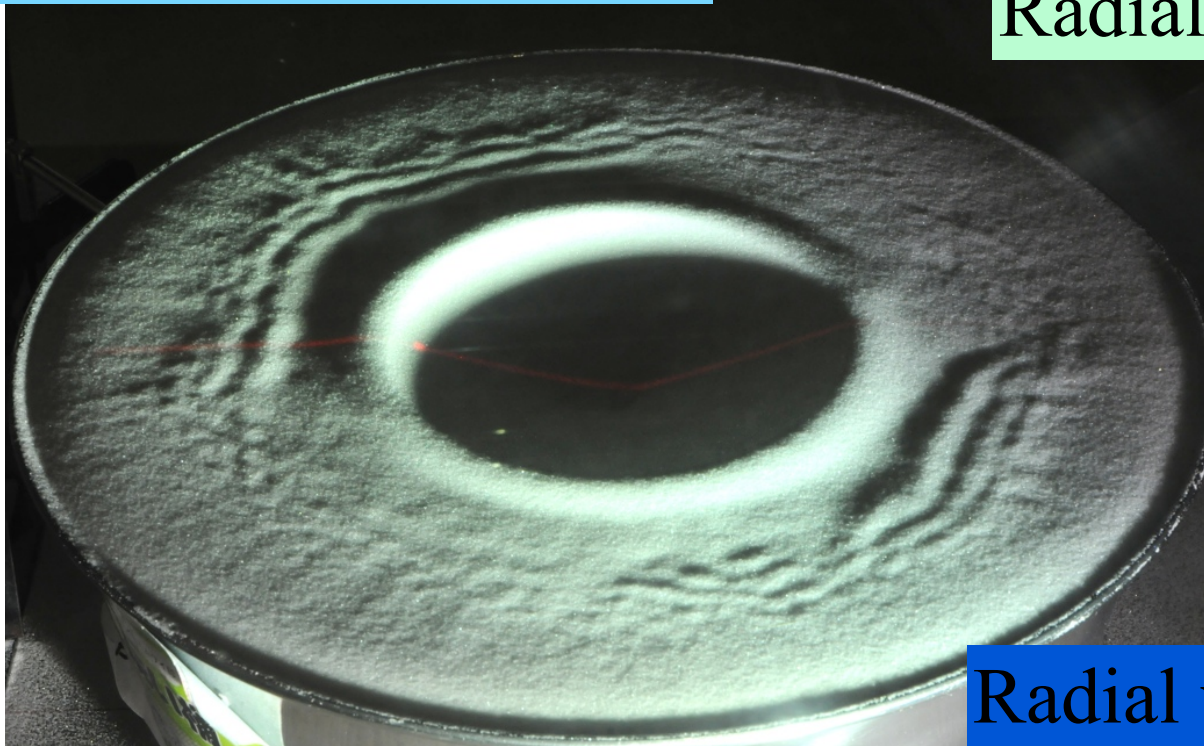




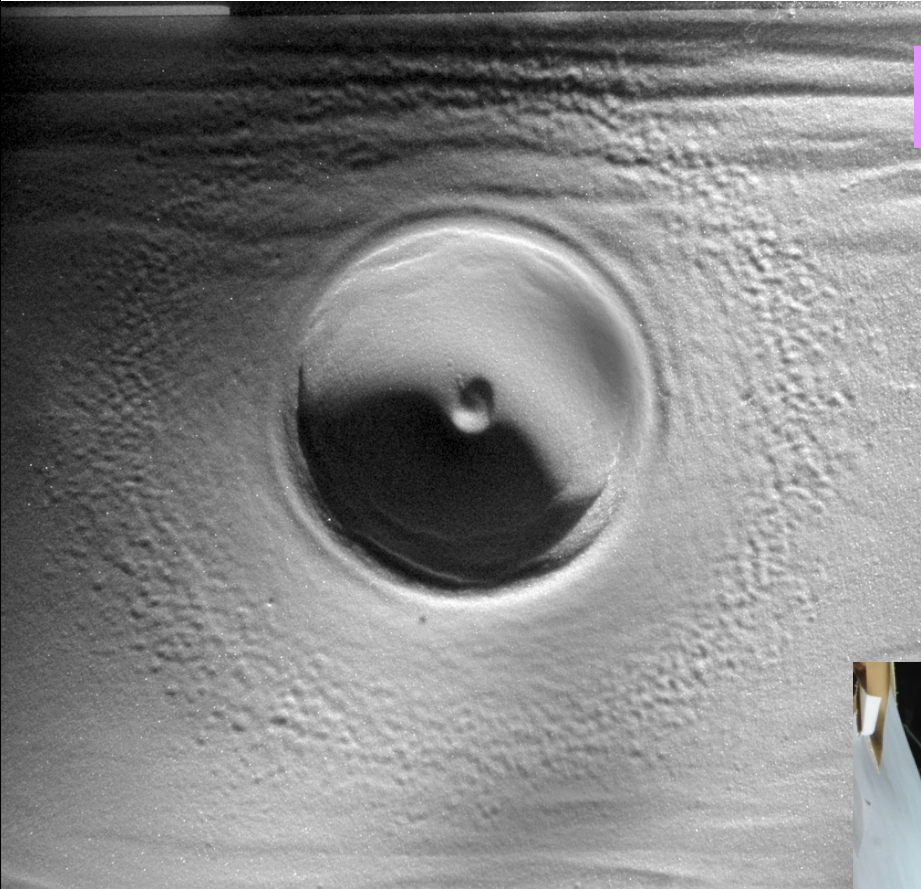
Radial w/ regular concentric



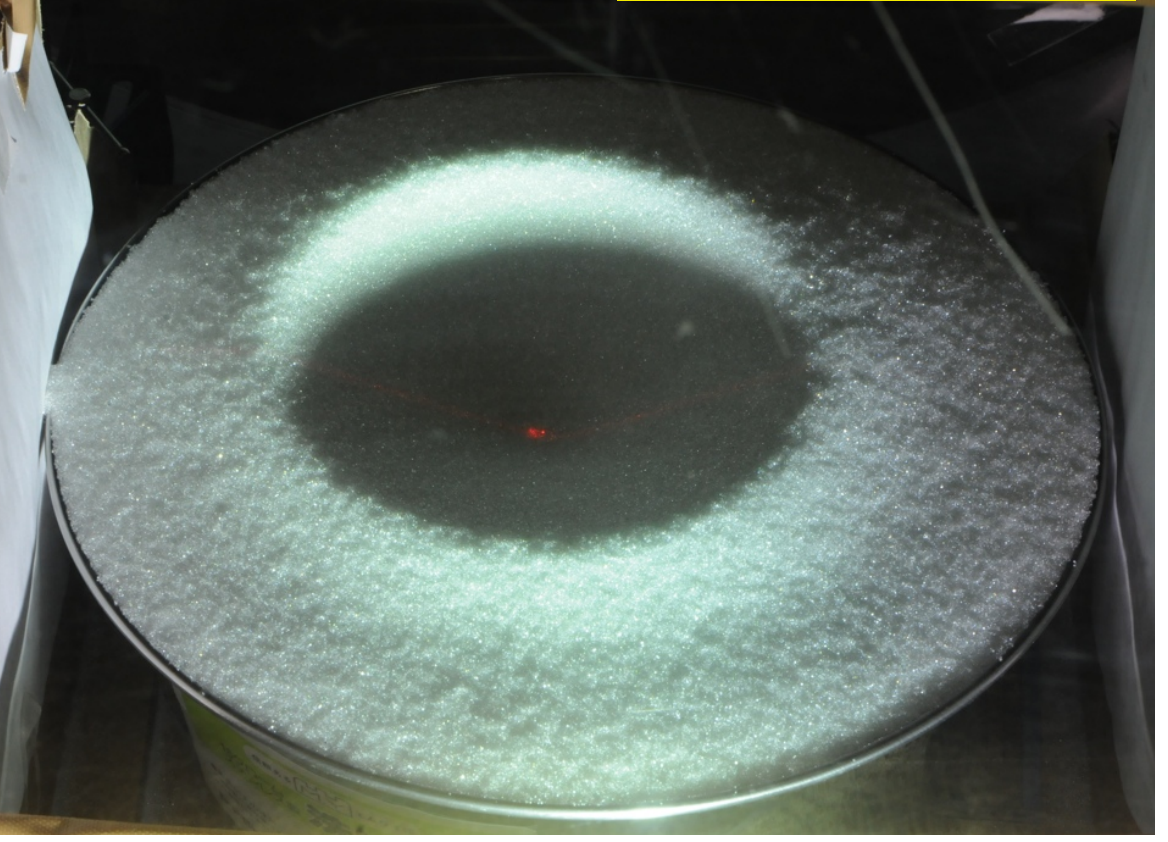
Radial w/ thick concentric



Radial w/ wavy concentric



Dimple

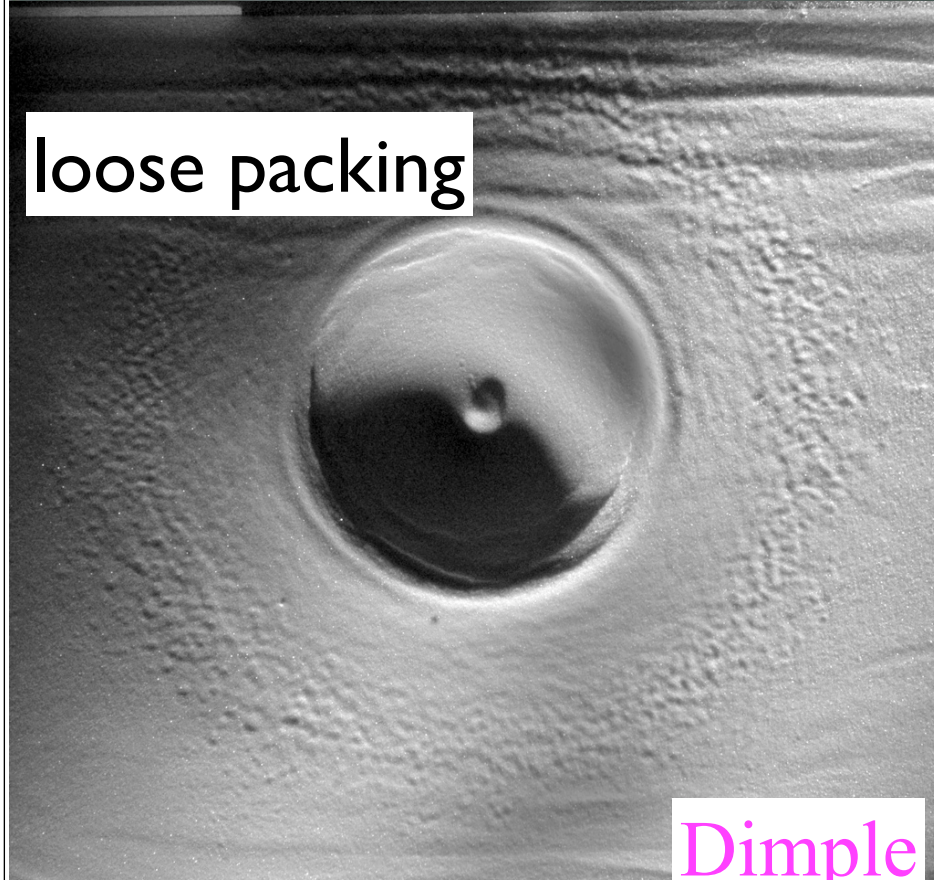


No morphology

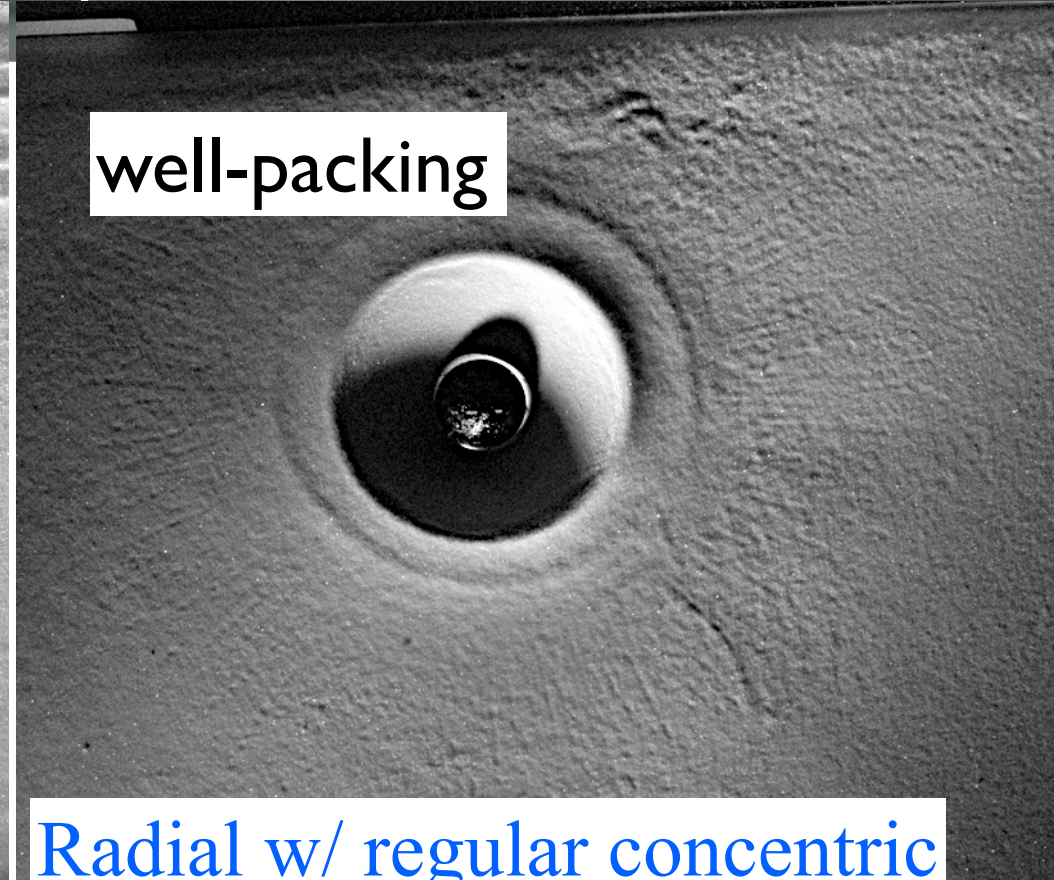
ターゲット準備状態による地形の違い



loose packing



well-packing



Dimple

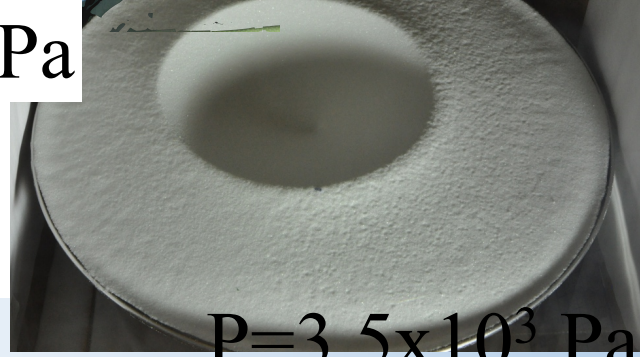
Radial w/ regular concentric

大気圧による地形の違い

$P=5.0 \times 10^2 \text{ Pa}$



$P=1.0 \times 10^3 \text{ Pa}$

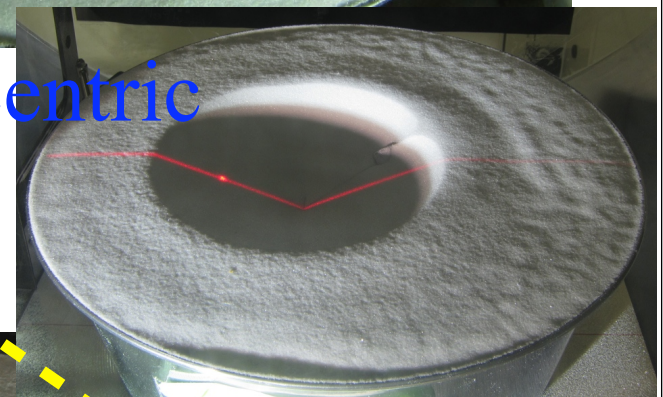


Radial

w/o concentric

w/ concentric

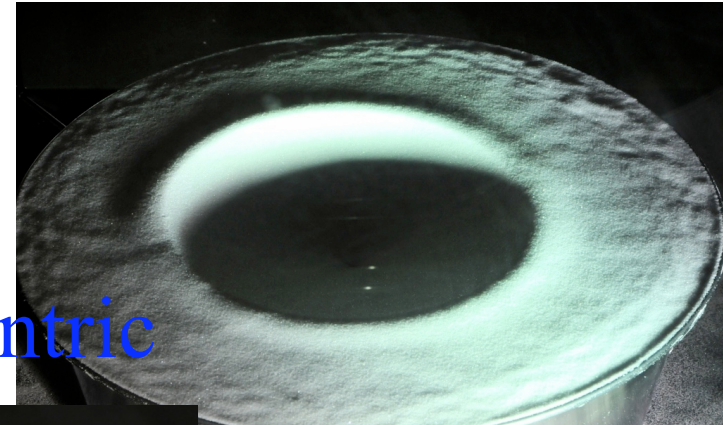
$P=1.0 \times 10^4 \text{ Pa}$



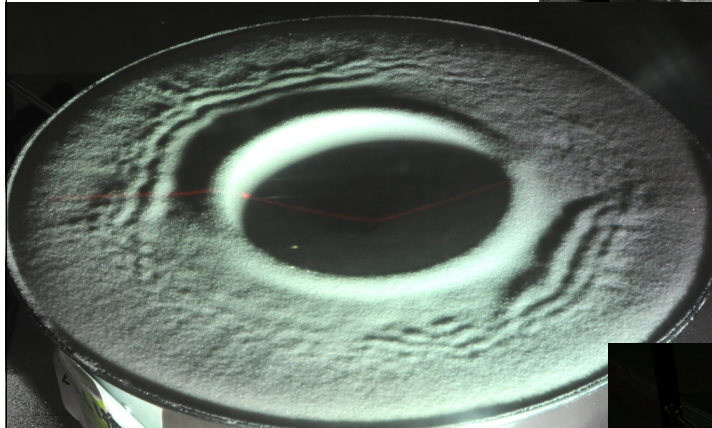
$P=6.2 \times 10^3 \text{ Pa}$

衝突速度による地形の違い

Radial w/
wavy concentric

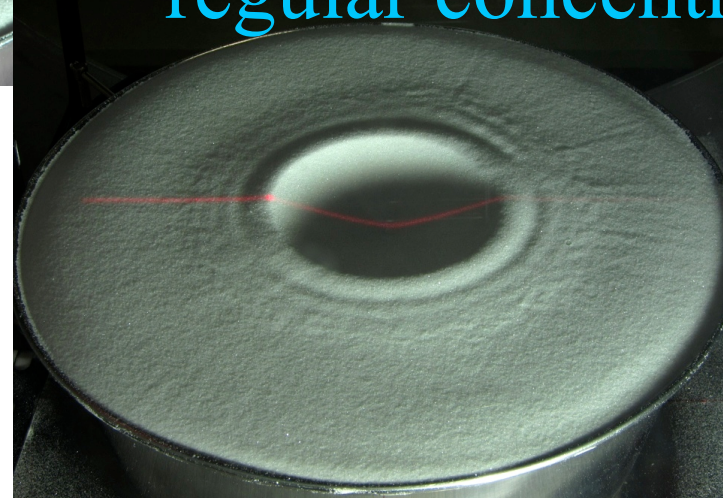


$v = 83.8 \text{ m/s}$



$v = 58.3 \text{ m/s}$

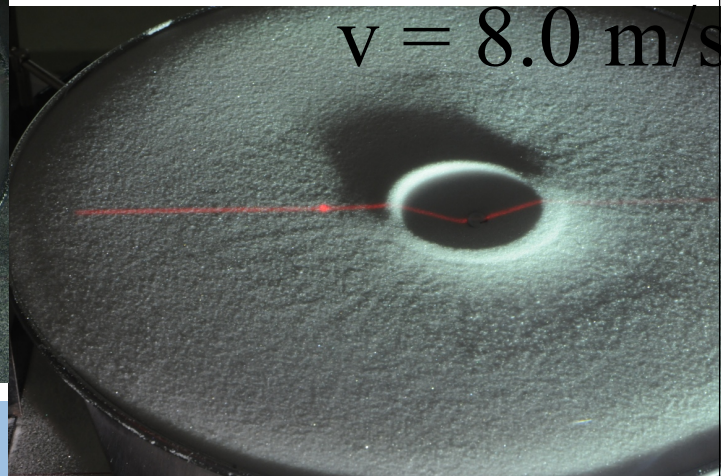
Radial w/
regular concentric



$v = 38.9 \text{ m/s}$

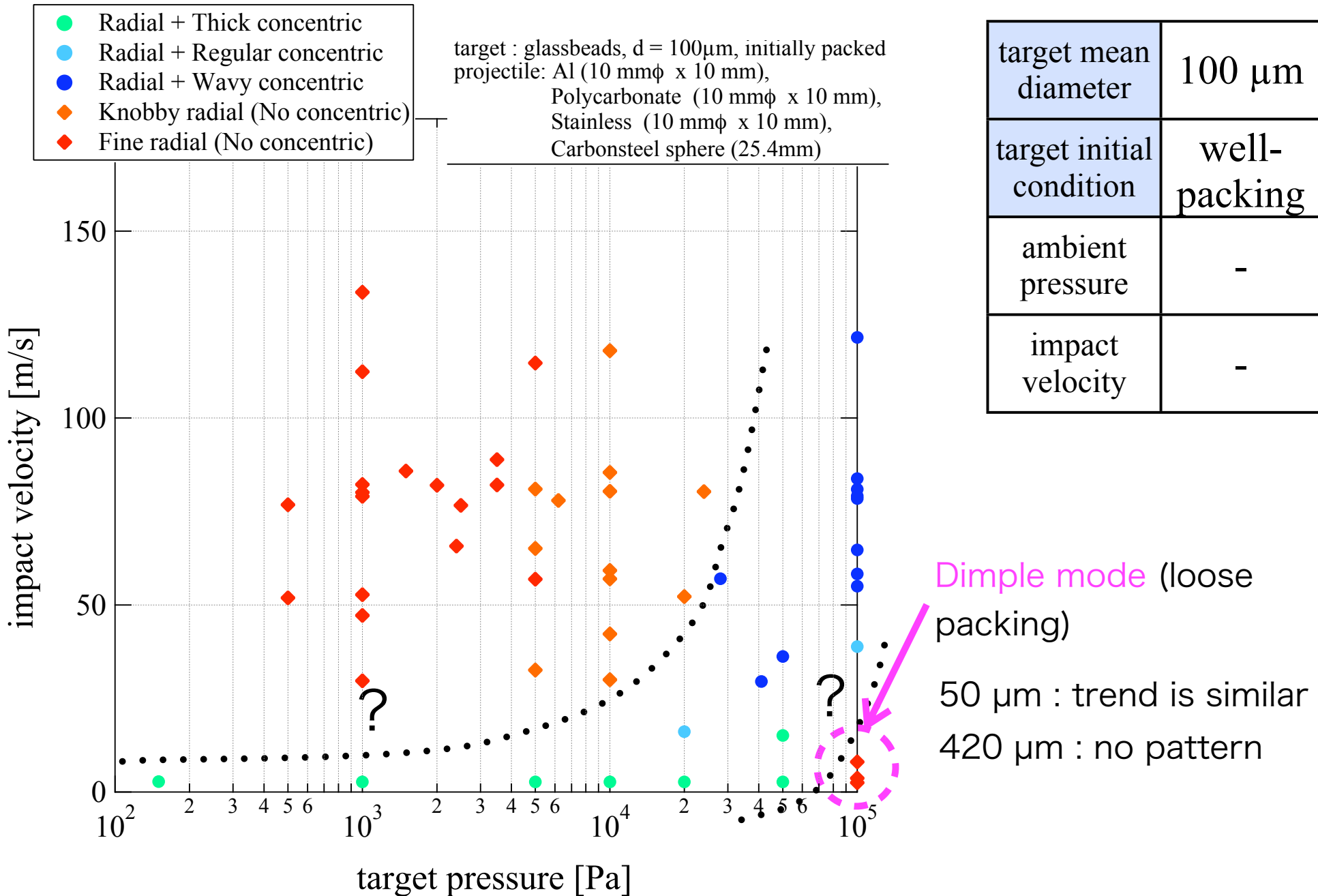
target mean diameter	$100 \mu\text{m}$
target initial condition	well-packing
ambient pressure	10^5 Pa
impact velocity	-

Radial
w/o concentric



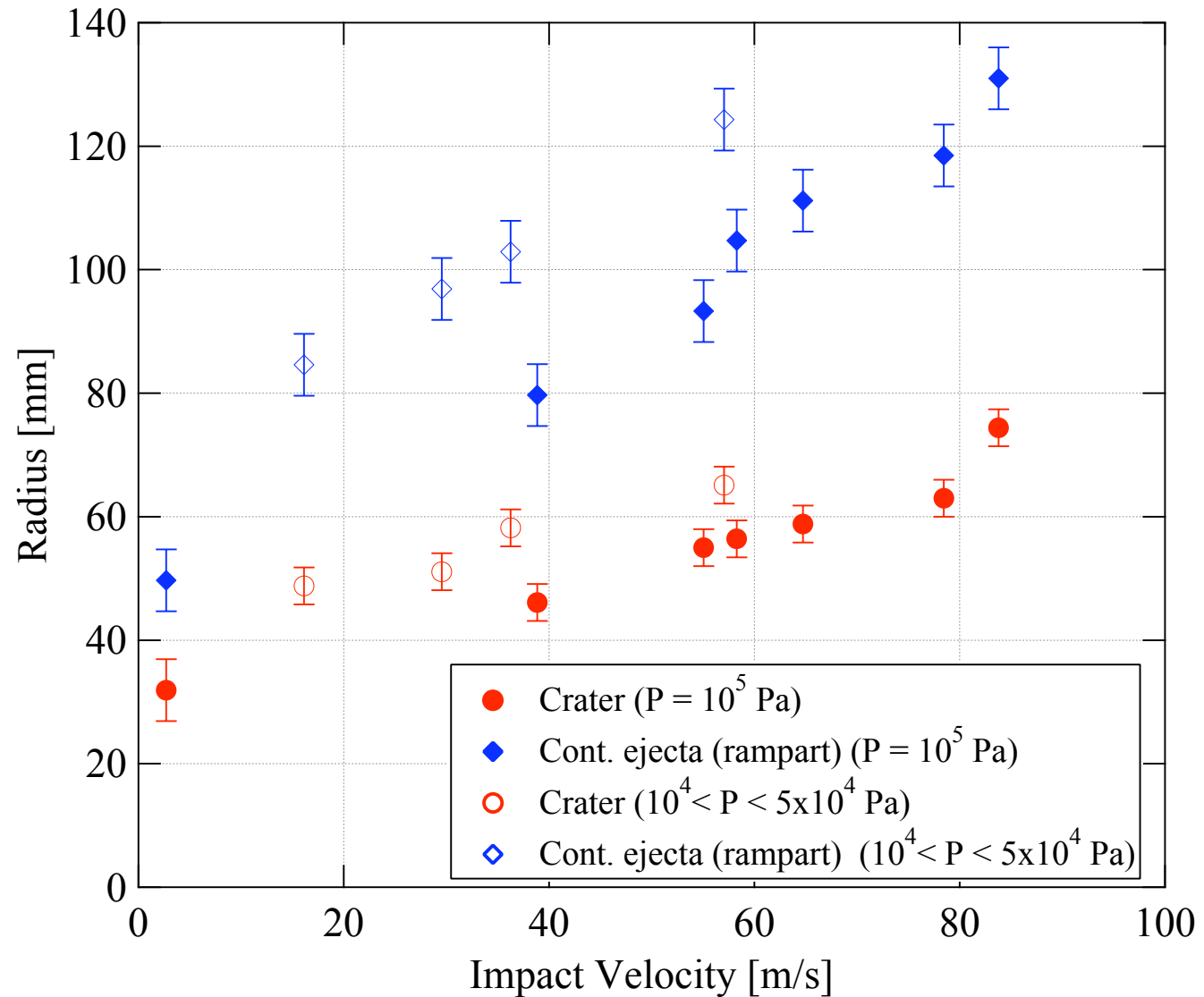
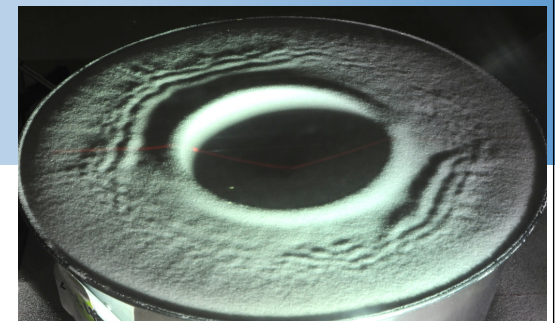
$v = 8.0 \text{ m/s}$

大気圧と衝突速度を用いた相図



concentric パターン

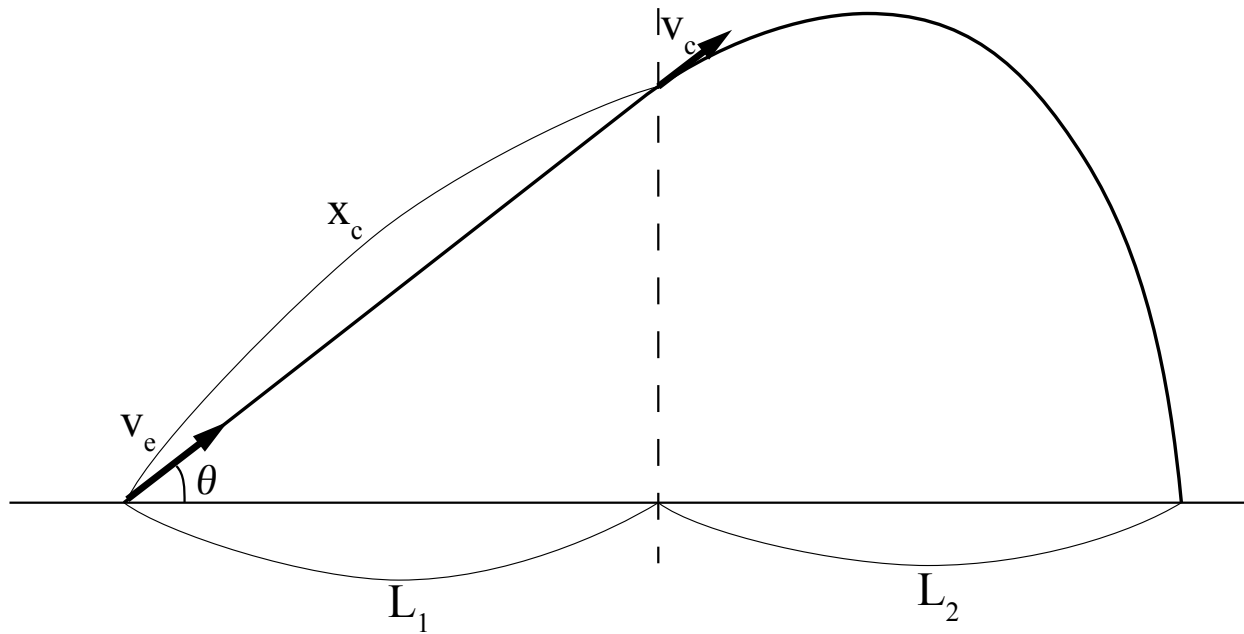
Radius of crater and continuous ejecta (rampart)
vs. impact velocity (concentric pattern)



エジェクタ到達距離の簡易モデル

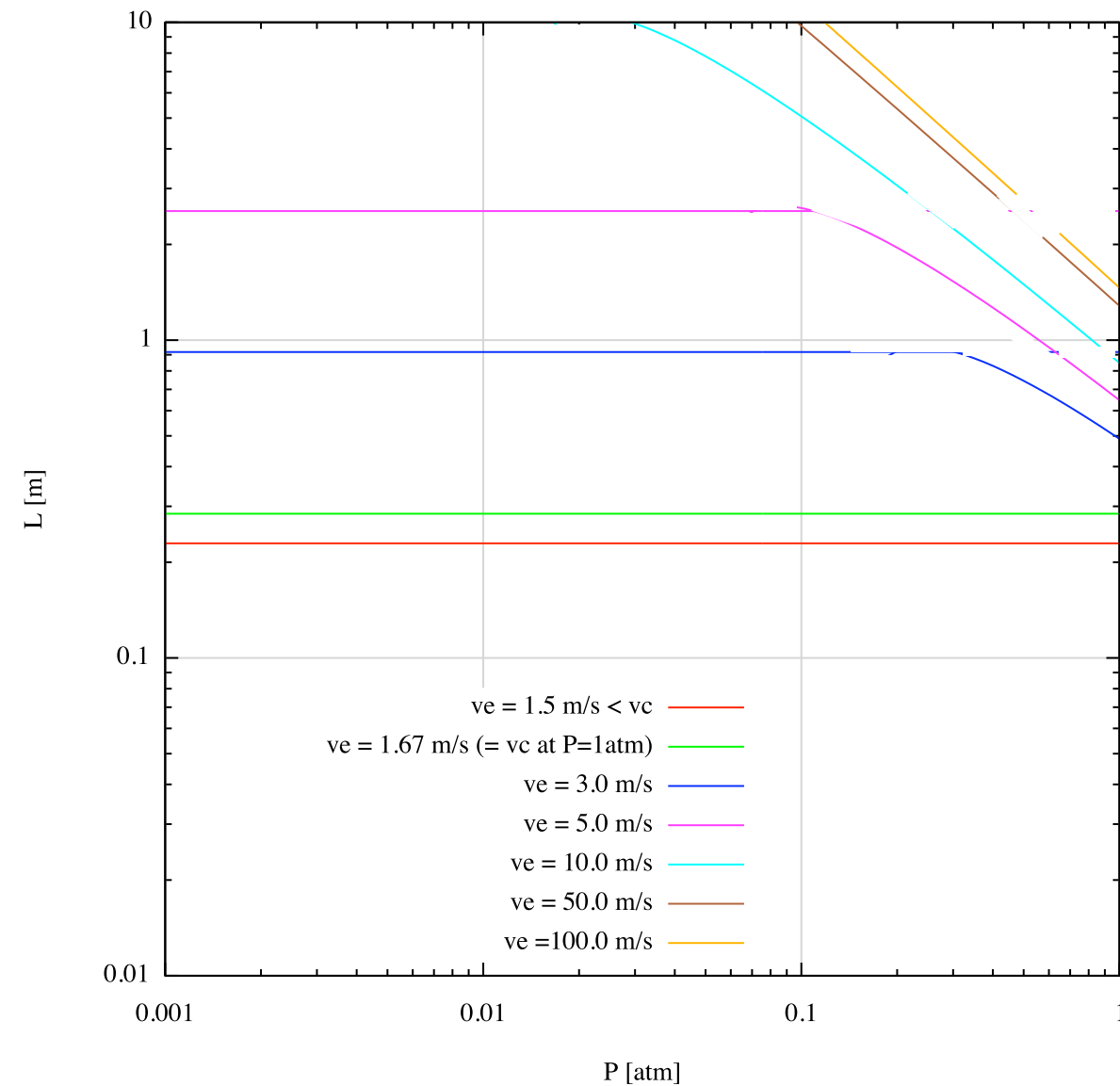
$$m \frac{d\mathbf{v}}{dt} = m\mathbf{g} - k \frac{\mathbf{v}}{|\mathbf{v}|} |\mathbf{v}|^2,$$

$$v_c = \sqrt{\frac{mg}{k}}$$

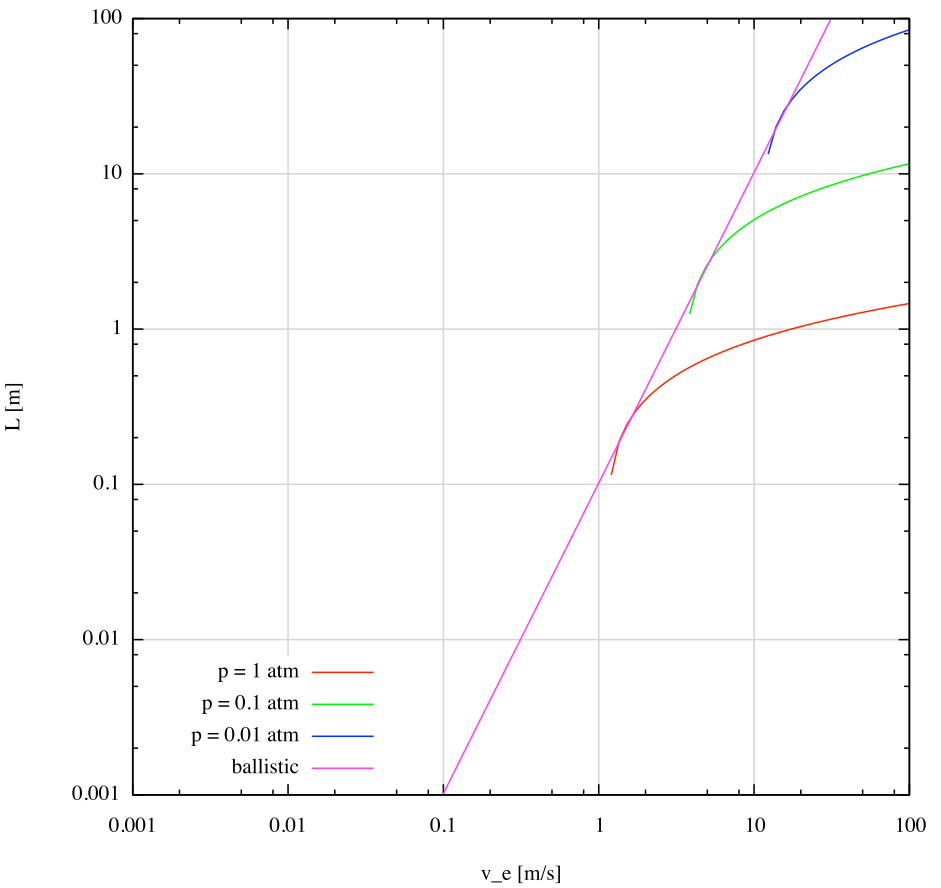
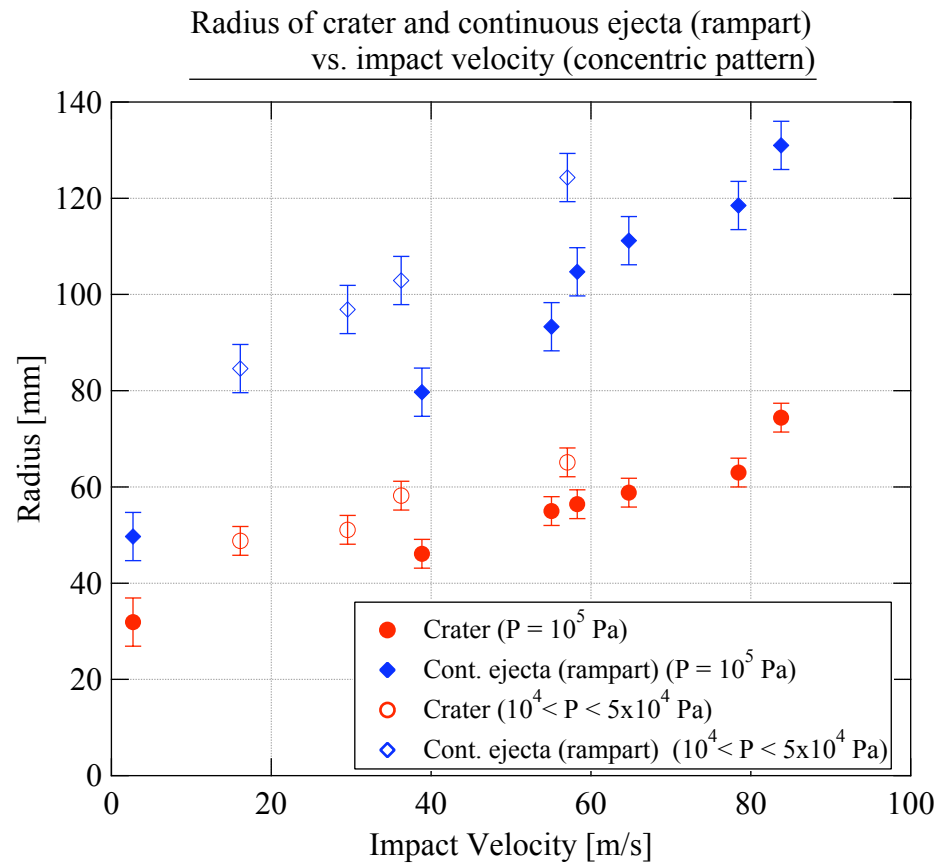
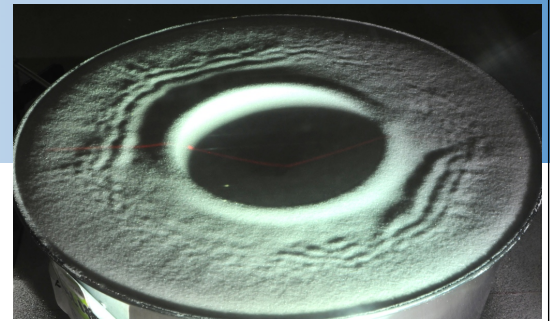


$$L_{\text{total}} = 0.200 \left(\frac{P}{10^5} \right)^{-1} \left\{ \ln \left(\frac{v_e}{1.67} \left(\frac{P}{10^5} \right)^{\frac{1}{2}} \right) + \frac{1}{\sqrt{2}} + \sqrt{\sqrt{2} \ln \left(\frac{v_e}{1.67} \left(\frac{P}{10^5} \right)^{\frac{1}{2}} \right) + \frac{1}{2}} \right\},$$

モデルにおけるエジェクタの到達距離



concentric パターン



Summary

- 粒径による違い
 - 50, 100 μm -> Radial / Radial w/ concentric. / Dimple
 - 420 μm -> No morphology
- ターゲット準備状態による違い (大気圧下のみ)
 - well-packing (low porosity) -> Radial mode
 - loose packing (high porosity) -> Dimple
- 相図を描いた
 - 大気圧, 速度, 粒径によって地形の違いができる
- エジェクタ到達距離の簡易モデル
 - concentric パターンを作っているエジェクタは, かなり遅い速度で放出された
 - 大気圧による減速は実験では観測された. 別の減速モデルの必要性